

2,5 раза превышает интенсивность изображения), а уровень боковых лепестков лежит в разумных пределах (первый лепесток — 20—30 %, второй лепесток — до 2 %). Из изложенного можно сделать вывод о возможности использования предложенного способа сравнения изображений в системах технического зрения. Так как усиление сигнала не очень велико, описанную процедуру целесообразно дополнить пороговой обработкой отфильтрованного изображения.

СПИСОК ЛИТЕРАТУРЫ

- Петров М. П., Степанов С. И., Хоменко А. В. Фоточувствительные электрооптические среды в голографии и оптической обработке информации.—Л.: Наука, 1983.
- Нагаев А. И., Парыгин В. И., Пашин С. Ю. Обработка изображений при помощи пространственного модулятора света на основе эффекта Покельса // Квантовая электроника.—1982.—9, № 9.
- Ковтонюк П. Ф., Киселев Г. Л., Купрейченко В. С., Одипоков С. Б. Вычитание случайно смешанных изображений на ПВМС с использованием метода дефокусировки // Тез. докл. I Всесоюз. конф. по оптической обработке информации.—Л.: ЛФТИ, 1988.—Ч. II.

Поступило в редакцию 11 октября 1988 г.

УДК 681.2 : 535.42

В. К. АЛЕКСАНДРОВ, Е. В. ГАЛУШКО, В. Н. ИЛЬИН
(Минск)

РАЗМЕРНЫЙ КОНТРОЛЬ ОГРАНИЧИВАЮЩИХ ДИАФРАГМ ПО ДИФРАКЦИИ ФРЕНЕЛЯ

Оптические и оптико-электронные методы измерения диаметра отверстий в диафрагмах микрометрового размера достаточно полно разработаны и находят широкое применение [1]. Наибольшее распространение получил метод измерения по дифракции в дальней зоне (дифракции Фраунгофера). Точность измерения по этому методу зависит от диаметра измеряемых отверстий и с его увеличением (более 500 мкм), вследствие уменьшения эффективных размеров дифракционной картины и трудности ее разрешения, существенно снижается (в первом приближении обратно пропорционально квадрату диаметра). Для повышения точности измерения требуется разработка специальных объективов повышенной сложности с целью получения дифракционных изображений на практически приемлемых расстояниях от плоскости диафрагмы.

В статье рассмотрено использование дифракции в ближней зоне (дифракции Френеля), которое, как показали проведенные исследования, является перспективным для размерного контроля ограничивающих диафрагм микрометрового и миллиметрового диапазонов.

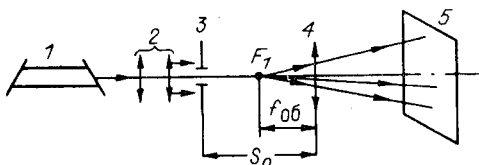


Рис. 1

Исследования проводились на оптическом устройстве, включающем лазер 1, коллиматор 2, набор диафрагм 3, объектив 4 и экран 5 (рис. 1). Диафрагма, подлежащая измерению, освещалась коллимированным монохроматическим пучком, диаметр которого превышал диаметр контролируемого отверстия. Дифракционные картины в ближней зоне наблюдались при последовательном фокусировании объектива на фиксированные точки по его оси. Смещение объектива вдоль оси отверстия приводит к тому, что на экране непрерывно изменяется дифракционная картина, где минимумы и максимумы плавно переходят друг в друга, причем кольца-минимумы как бы перемещаются к центральной зоне, а кольца-максимумы — им навстречу. Центральная зона при этом «моргает», так как интенсивность I_n изменяется и в произвольной точке n по оси отверстия будет равна [2, 3]

$$I_n = \frac{A^2}{4x_n^2} \sin^2 \frac{R^2 k}{4x_n}, \quad (1)$$

где A — амплитуда колебаний, испускаемых источником; x_n — расстояние от плоскости диафрагмы до точки наблюдения; R — радиус отверстия; $k = 2\pi/\lambda$ — волновое число. Решение (1) для n -го минимума интенсивности дает соотношение

$$x_n = R^2/2\lambda n. \quad (2)$$

Найдем связь между диаметром отверстия и расстояниями между соседними минимумами интенсивности по оси отверстия. Из (2) следует

$$x_{n+1} = R^2/2(n+1)\lambda, \quad (3)$$

где x_{n+1} — расстояние от плоскости отверстия до $(n+1)$ -го минимума интенсивности.

Обозначим через Δx_1 и Δx_2 соответственно расстояния между $(n+1)$ -м и n -м и $(n+1)$ - и $(n+2)$ -м минимумами интенсивности, тогда из (2) и (3)

$$\Delta x_1 = R^2/2n(n+1)\lambda; \quad (4)$$

$$\Delta x_2 = R^2/2(n+1)(n+2)\lambda. \quad (5)$$

Из (4) находим

$$R = \sqrt{2\lambda n(n+1)\Delta x_1}. \quad (6)$$

Взяв отношение (5) к (4), получим

$$n = 2\Delta x_2/(\Delta x_1 - \Delta x_2). \quad (7)$$

Подставив (7) в (6) и учитывая, что $2R = D$, окончательно получаем

$$D = 4\sqrt{\lambda\Delta x_1\Delta x_2(\Delta x_1 + \Delta x_2)} / (\Delta x_1 - \Delta x_2). \quad (8)$$

Вариант оптической схемы устройства для измерения диаметра ограничивающих диафрагм представлен на рис. 2.

Световой луч от источника когерентного монохроматического излучения — лазера 1 — направляется на светоделитель 2, который разделяет

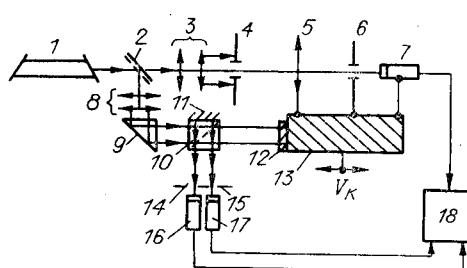


Рис. 2

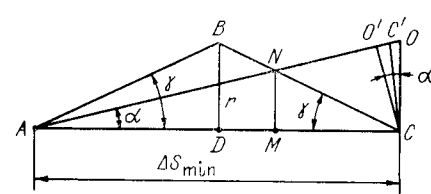


Рис. 3

входящий луч на два вторичных взаимно перпендикулярных луча, равной интенсивности. Затем один из вторичных пучков направляют в коллиматор 3, получают расширенный параллельный пучок света, в ходе которого устанавливают объект контроля 4 (деталь с отверстием). При этом в результате дифракции лазерного пучка на отверстии (дифракции Френеля) последовательно друг за другом по его оси формируются дифракционные изображения с минимумами интенсивности в центре. Эти дифракционные изображения увеличиваются объективом 5 и проецируются на плоскость круглой диафрагмы 6, которая вырезает их центральную зону. Фотоэлемент 7 регистрирует освещенности центральной зоны каждого дифракционного изображения отверстия на диафрагме 6.

Перемещая каретку 13 и установленные на ней объектив 5, диафрагму 6 и фотоэлемент 7 с помощью бесконтактного электромагнитного привода в направлении контролируемого объекта 4, получаем периодические изменения интенсивности света центральной зоны дифракционного изображения.

Другой вторичный пучок света расширяется коллиматором 8 и посредством призмы 9 направляется в интерферометр, собранный по схеме Майкельсона из следующих оптических элементов: светоделителя 10, опорного отражателя 11, измерительного отражателя 12, установленного на каретке 13, щелевых диафрагм 14 и 15, сдвинутых относительно друг друга по фазе интерференционной картины на $\pi/2$, фотоприемников 16 и 17, электрически связанных с электронным блоком 18.

Доминирующими погрешностями при считывании дифракционной картины будут: ε_α вследствие углового перекоса оси перемещения каретки; ε_r , связанная с разрешающей способностью оптической системы; ε_t из-за неопределенности момента прохождения минимума дифракционной картины, которая, в свою очередь, состоит из погрешностей фиксации фронта (свет—тень) ε_ϕ и среза (тень—свет) ε_c ; ε_n , вызванная линейным смещением оси перемещения каретки относительно центра дифракционной картины; ε_π из-за нестабильности уровня пороговой схемы и ε_η вследствие дискретности интерферометра. Влияющая на точность считывания дифракционной картины погрешность углового перекоса ε_α' оси перемещения каретки может быть оценена путем аппроксимации распределения минимума по оси в виде ΔABC (рис. 3), где r — максимальный попеченный размер минимума; γ — угол, под которым наблюдается r с 50 %-ного уровня освещенности; α — угол перекоса оси.

Из ΔAOC находим, что $AO = \Delta S_{\min} / \cos \alpha$, а отрезок $OO' = \Delta = \Delta S_{\min} (1 - \cos^2 \alpha)$. Ошибка измерения будет пропорциональна отрезку $O'N$. Так как $O'N = O'C \operatorname{tg}(\angle O'CN)$ и $\angle O'CN = 90^\circ - (\alpha + \gamma)$, то

$$O'N = \frac{\Delta \operatorname{tg}[90^\circ - (\alpha + \gamma)]}{\operatorname{tg} \alpha}. \quad (9)$$

Подставив значение Δ в формулу (9), получим

$$O'N = \frac{\Delta S_{\min} (1 - \cos^2 \alpha) \operatorname{tg}[90^\circ - (\alpha + \gamma)]}{\operatorname{tg} \alpha} \approx \varepsilon_\alpha'.$$

Угол γ определяется номером рассматриваемого минимума. Из ΔABD

$$\operatorname{tg} \gamma = 2r / \Delta S_{\min, n}.$$

Экспериментально установлено, что $r = R / 2\pi n$, поэтому

$$\varepsilon_\alpha' = \frac{\Delta S_{\min} (1 - \cos^2 \alpha) \operatorname{tg}[90^\circ - (\alpha + \arctg(R / \Delta S_{\min} \pi n))]}{\operatorname{tg} \alpha}. \quad (10)$$

Протяженность n -го минимума $\Delta S_{\min, n}$ определяется исходя из расстояния от отверстия до перехода свет—тень $S_{1,n}$, соответствующего началу минимума, и перехода тень — свет $S_{2,n}$, соответствующего его окончанию.

Примем

$$S_{1,n} = (x_{\max,n} + x_{\min,n})/2; \quad (11)$$

$$S_{2,n} = (x_{\max,n+1} + x_{\min,n})/2. \quad (12)$$

Тогда оба перехода будут с учетом (2) и (3) отстоять от отверстия на расстояниях

$$S_{1,n} = [R^2(2n - 0,5)]/4\lambda n(n - 0,5); \quad (13)$$

$$S_{2,n} = [R^2(2n + 0,5)]/4\lambda n(n + 0,5), \quad (14)$$

а протяженность минимума найдем из соотношения

$$\Delta S_{\min,n} = S_{1,n} - S_{2,n}. \quad (15)$$

Подставив значения $S_{1,n}$ и $S_{2,n}$ из (13), (14) в (15), получим ся. Допустимая величина $\varepsilon_\alpha^\alpha$ не должна превышать значения дискретности отсчета интерферометра ε_n . Например, если $\varepsilon_n = \lambda/2$, то при последовательном считывании минимумов с номерами $n = 5$, $(n+1) = 6$, $(n+2) = 7$ допустимый угол перекоса α не должен превышать величины $\alpha = 0,017^\circ$ (расчет проведен для диафрагмы с $R = 1$ мм).

Расчет ошибки по формуле (10) приводит к завышенному результату, т. е. действительная погрешность будет несколько меньше, поэтому принятые допущения не влияют на общую оценку точностных характеристик способа.

При $n = 5$ из (16) находим $\Delta S_{\min} = 9,3$ мм, а из (10) при $\alpha = 0,017^\circ$ и $R = 1$ мм получаем $\varepsilon_\alpha' = 0,131$ мм на изображении. Погрешность от углового перекоса дает ошибку в вычислении радиуса отверстия, выражаемую следующим отношением, полученным с учетом (2):

$$\varepsilon_\alpha = R - \sqrt{2\lambda n(x_n \pm \varepsilon_\alpha')}.$$

Для указанных выше значений R , n , а также при $\lambda = 0,63$ мкм и $\varepsilon_\alpha' = \varepsilon_\alpha^\alpha = \lambda/2$, $\varepsilon_\alpha = 0,41$ мкм;

$$\varepsilon_R = \sqrt{2\lambda n x_n} - \sqrt{2\lambda n(x_n \pm \varepsilon_0)}, \quad (17)$$

где $\varepsilon_0 = 0,61\lambda/a$; a — апертура объектива;

$$\varepsilon_\Phi = 16\Phi_a\beta^2/\pi\tau_0 L_v a r_d, \quad (18)$$

где Φ_a — пороговый поток фотоэлектрической схемы; β — коэффициент оптического увеличения; τ_0 — коэффициент пропускания оптической системы; L_v — яркость излучения источника; r_d — радиус анализирующей диафрагмы. Без существенной ошибки можно принять $\varepsilon_c \approx \varepsilon_\Phi$ и $\varepsilon_n \leq \varepsilon_\alpha$. Погрешностью линейного смещения ε_x оси перемещения относительно центра дифракционной картины можно пренебречь, так как она исключается аппаратными методами путем определения координат границ перехода экстремумов интенсивности и нахождения их полусуммы. Погрешность дискретности отсчета интерферометрического преобразователя принимается $\varepsilon_n = \lambda/2$. В общем случае погрешность измерения определяется по правилам суммирования случайных величин (приведенных к объекту погрешностей)

$$\varepsilon_z = \sqrt{\varepsilon_\alpha^2 + \varepsilon_R^2 + \varepsilon_c^2 + \varepsilon_\Phi^2 + \varepsilon_n^2 + \varepsilon_\pi^2}. \quad (19)$$

При использовании лазерного источника типа ЛГН-302 с яркостью излучения $L_v = 3 \cdot 10^8$ лм · ср⁻¹ м⁻² при $\Phi_a = 1 \cdot 10^{-6}$ лм · ср⁻¹, $\beta = 40$, $\tau_0 = 0,8$; $r_d = 10^{-3}$ м; $\varepsilon_\Phi = \varepsilon_c \approx 0,085$ мкм, принимая во внимание ранее вы-

численные ε_a , ε_b и экспериментально определенную $\varepsilon_n = 0,24$ мкм, абсолютная погрешность метода измерения, вычисленная по (19), не превышает величины $\varepsilon_z \leq 0,68$ мкм или $\leq 0,07\%$, что лучше, чем для способа измерения по дифракции Фраунгофера.

В электронный блок поступают электрические сигналы от фотоэлементов 16 и 17 интерферометрического преобразователя линейных перемещений, по которым в моменты регистрации фотоэлементом 7 минимумов интенсивности дифракционных картин определяется расстояние Δx_1 и Δx_2 , пройденное кареткой 13, что адекватно линейному расстоянию между первым и вторым и вторым и третьим дифракционными изображениями отверстия с минимумами интенсивности в центре. Затем вычисляется диаметр D отверстия по формуле (8).

Начальное расстояние x_0 от контролируемого объекта до объектива выбиралось с учетом выражения

$$x_0 \leq (0,5 \div 0,9) (f_{ob} + D_{max}^2 / 8\lambda), \quad (20)$$

где f_{ob} — фокусное расстояние объектива; D_{max} — наибольший диаметр контролируемых отверстий. Значение x_0 по (20) соответствует 5—6-му минимуму интенсивности по оси отверстия.

Разработанный метод эффективен для контроля размера отверстий в тонких диафрагмах, если выполняется условие $D/l \geq 1$, где l — длина (глубина) отверстия, при дискретности отсчета, равной $\lambda/2$.

Измерение диаметра отверстий ограничивающих диафрагмы по дифракции в ближней зоне обеспечивает линейность чувствительности в функции диаметра в широком диапазоне контролируемого параметра (от десятков микрометров до единиц миллиметров).

СПИСОК ЛИТЕРАТУРЫ

1. Митрофанов Л. Р., Крылов К. И., Прокопенко В. Г. Применение лазеров в машиностроении и приборостроении.—Л.: Машиностроение, 1978.
2. Нагибина И. М. Интерференция и дифракция света.—Л.: Машиностроение, 1974.
3. Папулис А. Теория систем и преобразований в оптике: Пер. с англ.—М.: Мир, 1974.

Поступило в редакцию 30 декабря 1988 г.

УДК 534.24 : 231.1

Х. Т. АБЕЙНАЯКЕ, В. А. КОМОЦКИЙ
(Москва)

ИЗМЕРЕНИЕ ЧАСТОТНЫХ ХАРАКТЕРИСТИК ОТРАЖЕНИЯ ПАВ ОТ ПЕРИОДИЧЕСКОЙ СТРУКТУРЫ

Методика измерения коэффициента отражения путем оптического зондирования с опорной дифракционной решеткой (ОДР), описанная нами в [1], оказывается весьма эффективной при исследовании частотных характеристик отражателей ПАВ. Практически мы продемонстрируем это на примере экспериментальных измерений на одном из образцов.

Исследуемый образец — решетка из металлических короткозамкнутых полос с периодом 50 мкм на поверхности подложки из ниобата лития YZ-среза. Материал пленки — алюминий, толщиной 200 нм. Коэффициент металлизации 0,5, число отражающих штрихов $N = 200$. На рассто-